

## Grand Unified Theory (GUT)

Das Standard-Modell hat eine komplizierte Struktur

$$SU_3 \otimes SU_2 \otimes U_Y(1)$$

der Wechselwirkungen mit den drei unabhängigen Kopplungsstärken

$$g_s \quad g = g_W \quad g' = \sqrt{g_Z^2 - g_W^2}$$

Entsprechen dieser Struktur gibt auch es keinen Zusammenhang zwischen den Farbtriplets der  $SU_3$  und den Flavour-Dupletts der  $SU_2$ , auch können elektro. Ladung und Hyperladung  $Y$  der  $U_Y(1)$  beliebig gewählt werden (NB:  $Y = 2 \cdot (Q - T^2)$ ). Es in diesem Modell keine Beziehung (aufgrund von Symmetrien) zwischen den doppeltzähligen elektro. Ladungen der Quarks und den Ladungen der Leptonen. Anders gesagt: Das Standard-Modell kann nicht erklären, warum Proton und Elektron im Wasserstoff den gleichen Absolutwert der elektro. Ladung besitzen.

## Grand Unified Theory (GUT)

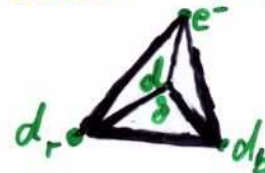
Um Verbindungen zwischen den separierten Strukturen des Standard-Modells herzustellen, liegt es nahe, nach einer umfassenderen Struktur (d.h. eine größere Gruppe) zu suchen. Beispiele dafür sind:

- $SU_c(4)$  J. Pati, A. Salam (1973)

Quarks und Leptonen als elementare, strukturlose Teilchen, angeordnet in Generationen zu zwei Doublets; z.B.

$$\begin{pmatrix} \nu_e \\ e^- \end{pmatrix}, \begin{pmatrix} u \\ d \end{pmatrix}, \dots$$

- Erweiterung der QCD-Gruppe  $SU_c(3)$  um Leptonen mit einer "vierten Farbladung"
- $SU_c(4)$ , z.B.



$$SU_c(4) \otimes SU_L(2) \otimes SU_R(2)$$

- Relation für elektr. Ladung:  $Q_{EM} = T_L^3 + T_R^3 + \frac{1}{2}(B-L)$
- da  $SU_c(4) \supset SU_c(3) \otimes U_{B-L}(1)$

QCD ↑

erhaltene Baryon-Leptanzahl

Lepton-Baryon-Zahl

## Grand-Unified-Theory (GUT)

- **SU(5)** H. Georgi, S.L. Glashow (1974)

ist die kleinste Gruppe, die alle Gruppen des Standard-Modells umfasst, d.h.  $SU(5) \supset SU(3) \otimes SU(2) \otimes U(1)$ .

Dies ist leicht einsichtig, wenn  $5 \times 5$ -Matrizen als Repräsentanten der  $SU(5)$  als aus  $3 \times 3$ -Matrix der  $SU(3)$  und  $2 \times 2$  Matrix von  $SU(2) \otimes U(1)$  ( $\cong U(2)$ ) aufgebaut betrachtet werden:

$$U := \begin{pmatrix} & & & & \\ & \ddots & & & \\ & \vdots & \ddots & & \\ & \ddots & \ddots & \ddots & \\ \hline & \ddots & \ddots & \ddots & \\ & & & & \ddots \\ & & & & \end{pmatrix}$$

⊗

Im Unterschied zur  $SU_c(3) \otimes SU_l(2) \otimes U_y(1)$  sind im  $SU(5)$ -Repräsentanten auch die oben freibleibenden Bereiche der Matrix aufgefüllt:

$$V := \begin{pmatrix} & & & & & \\ & \ddots & & & & \\ & \vdots & \ddots & & & \\ & & \ddots & \ddots & & \\ & & & \ddots & \ddots & \\ & & & & \ddots & \ddots \end{pmatrix}$$

sodass  $V \in SU(5)$  ist, d.h.  $V^T V = \mathbb{1}$  und  $\det(V) = 1$

# SU(5)-Grand Unified Theory (GUT)

Die Bedingung  $\det(U) = 1$ , falls  $U \in \text{SU}(5)$ , hat eine phänomenologisch interessante Konsequenz

$$U \rightarrow \begin{pmatrix} e^{i\alpha Y_3} \text{SU}(3) & & & \\ & \vdash & \dashv & \\ & e^{i\alpha Y_2} \text{SU}(2) & & \end{pmatrix}$$

symbol  $\Rightarrow \det(U) = \det(e^{-i\alpha Y_3} \mathbb{1}_3 \times e^{-i\alpha Y_2} \mathbb{1}_2) \stackrel{!}{=} 1$   
 $\mathbb{1}_3$ -dim-  $\mathbb{1}_2$ -dim  $\mathbb{1}$ -Matrix

$$\Rightarrow (e^{-i\alpha Y_3})^3 \cdot (e^{-i\alpha Y_2})^2 \stackrel{!}{=} 1$$

$$\Rightarrow \boxed{3 Y_3 + 2 Y_2 = 0}$$

Zahl der Farben ↑                              ↑ Flavour-Dublett-Struktur

Damit sind die Hyperladung  $Y_3$  der Farbtripletts und die Hyperladung  $Y_2$  der Flavour-Dubletts voneinander abhängig! Konsequenz:

► für Dublett  $(\frac{Y_2}{e^-})_L$  ist Hyperladung  $Y_2 = Y = -1$

$$\Rightarrow Y_3 = -\frac{2}{3} Y_2 = +\frac{2}{3}$$

$\Rightarrow$  Farbtripletts müssen doppelzähige elektr. Ladung besitzen!

## SU(5)-Grand Unified Theory (GUT)

M.a.W.  $(\bar{e}^L, e^-)_L$  bilden zusammen mit Teilchen, deren Hyperladung  $Y_3 = +\frac{2}{3}$  ist, ein 5-Plett innerhalb der SU(5)-Struktur. Von den bekannten Quarks der 1. Generation hat nur das Anti-d-Quark die passende Hyperladung ( $Y(\bar{d}_R) = 2 \cdot (+\frac{1}{3} - 0) = +\frac{2}{3}$ ).

► Also lautet das SU(5)-5-Plett (NB:  $\bar{d}_R \equiv (\bar{d})_L$ )

$$[5] = \begin{pmatrix} \bar{d}_b \\ \bar{d}_g \\ \bar{d}_r \\ \nu \\ e^- \end{pmatrix}_L$$

► Für die übrigen Quarks und Leptonen gibt es ein 10-Plett

$$[10] = \begin{pmatrix} 0 & \bar{u}_r & -\bar{u}_g & d_b & u_b \\ \cdot & 0 & \bar{u}_b & d_g & u_g \\ \cdot & \cdot & 0 & d_r & u_r \\ \hline \cdot & \cdot & \cdot & 0 & e^+ \\ \cdot & \cdot & \cdot & 0 & 0 \end{pmatrix}_L$$

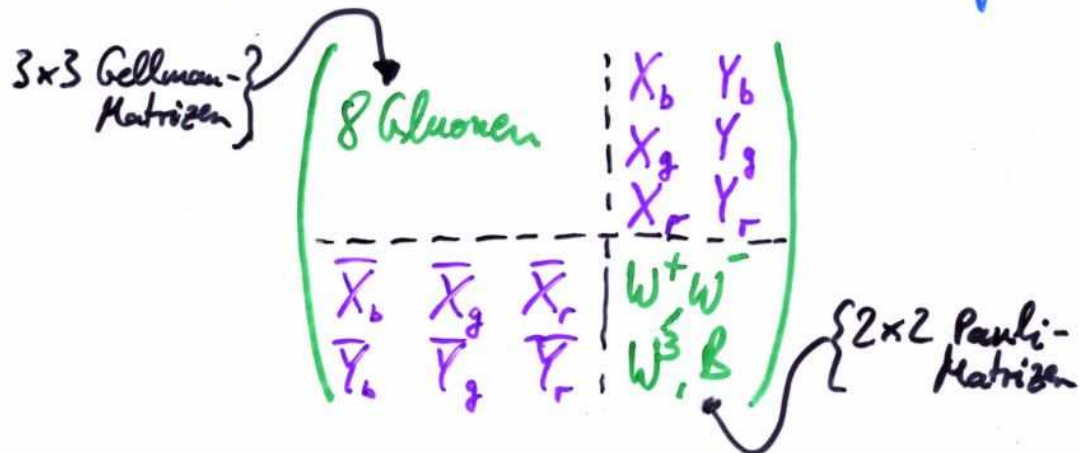
[10] ist antisym.  
5x5-Matrix,  
damit sind die -Elemente  
spezifisch

► Alle 15 Fermionen einer Generation sind damit in [5] und [10] untergebracht.

NB: Ein linkshändiges Anti-Neutrino fehlt  $\rightarrow$  Erweiterung erforderlich

## SU(5)-Grand Unified Theory (GUT)

Auch die bisher schon bekannten Eichbosonen treten in einer  $5 \times 5$  Matrix-Struktur auf:



und zusätzlich neue Bosonen  $X, Y$ , die aufgrund ihrer Position in der  $5 \times 5$ -Matrix sowohl starke als auch elektroschwache Wechselwirkungen vermitteln,

z.B.



$X, Y$  besitzen also Farbladung, drittelzählige elektr. Ladung und zusätzlich Baryonenzahl. Daraus werden diese Teilchen auch Leptoquarks genannt.

Bevor eine wichtige phänomenologische Konsequenz aufgrund dieser Leptoquarks erörtert wird, soll zunächst noch ein Blick auf die Kopplungsstärke(n) in dieser SU(5) geworfen werden.

## SU(5)-Grand Unified Theory (GUT)

Ein wesentliche Eigenschaft aller GUT-Theorien ist die Vereinigung der Kopplungen bei hoher Energie:

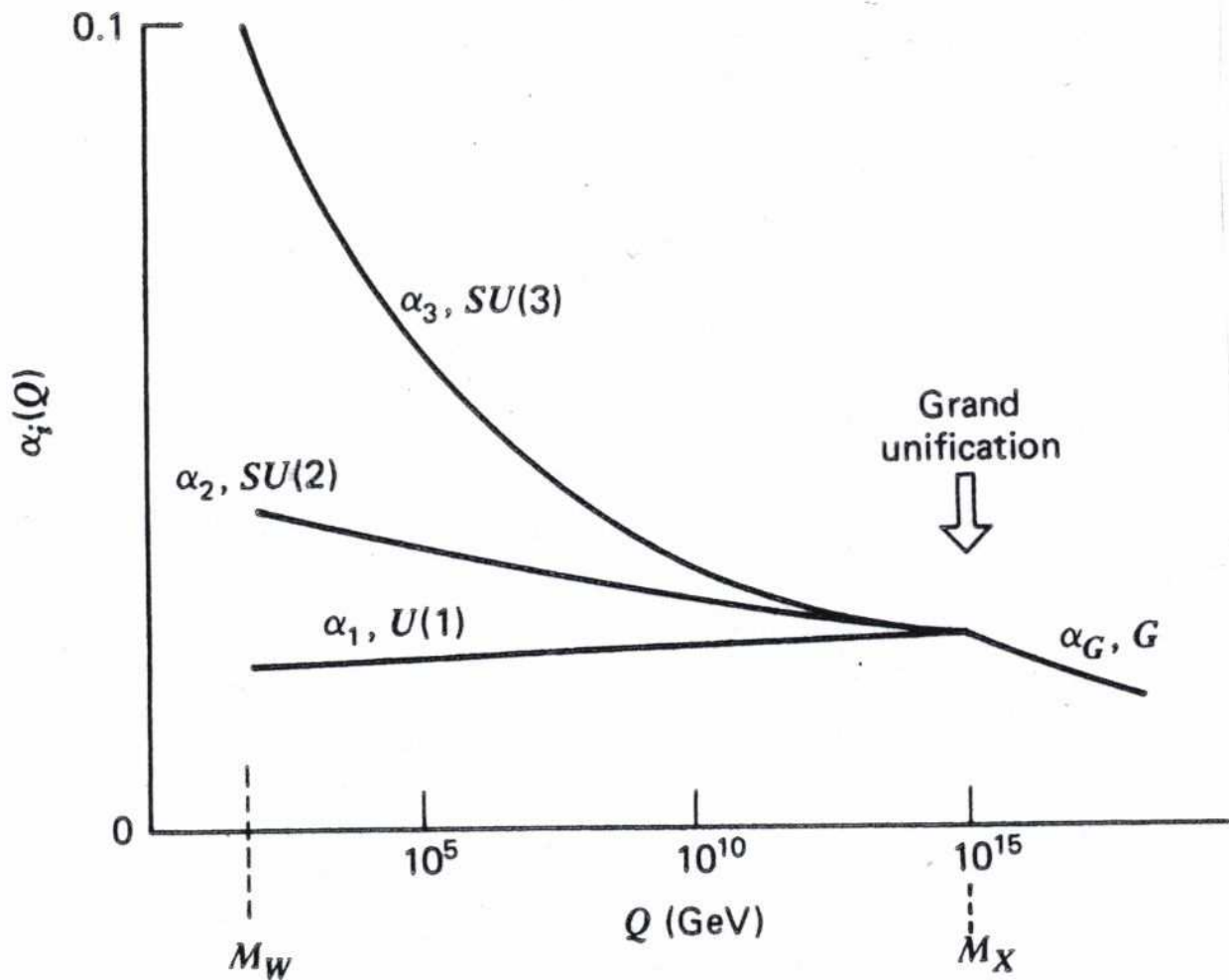


Fig. 15.4 The variation of  $\alpha_i \equiv g_i^2/4\pi$  with  $Q$ , showing the speculative grand unification of strong [ $SU(3)_{\text{color}}$ ] and electroweak [ $SU(2)_L \times U(1)_Y$ ] interactions at very short distances  $1/Q \approx 1/M_X$ .

Dabei sind:  $g_1 = \sqrt{\frac{5}{3}} \cdot g'$ ,  $g_2 = g_W$ ,  $g_3 = g_S$

$$g_1 \underset{U(1)}{\overset{\sqrt{\frac{5}{3}}}{\sim}} g' \quad g_2 \underset{SU(2)}{\overset{g_W}{\sim}} \quad g_3 \underset{SU(3)}{\overset{g_S}{\sim}}$$

die Kopplungen der Gruppen im Standard-Modell

NB: Faktor  $\sqrt{\frac{5}{3}}$  folgt aus SU(5)-Gruppenstruktur (Clebsch-Gordan-Koeffizient der diagonalen Gruppengenerator-Matrix  $\lambda_{24}$ )

## SU(5)-Grand Unified Theory (GUT)

Zur Erinnerung:

Vakuumpolarisation für zu (Anti-)Abschirmung von Ladungen - elektrische, Farbladung, Hyperladung, etc. -, wodurch die Kopplungsstärken energieabhängig werden:

$$\frac{g}{g_0} = \left( 1 + \frac{g}{g_0} + \left[ \frac{g}{g_0} \right]^2 + \dots \right) = \left( 1 + \frac{1}{1 - \frac{M_X^2}{\mu^2}} \right)$$

$$\Rightarrow \frac{1}{d_i(\mu^2)} = \frac{1}{d_i(M_X^2)} + b_i \ln \frac{M_X^2}{\mu^2} \quad \textcircled{*}$$

dabei sind die Kopplungen  $d_i, i=1,2,3$ , bei  $M_X^2$  vereinigt:  $d_1(M_X^2) = d_2(M_X^2) = d_3(M_X^2) = \alpha_G$

Die Werte von  $b_i$  ergeben sich aus den jeweiligen Renormierungsgruppengleichungen für  $U(1)_Y, SU(2)_L, SU(3)_C$ :

- $b_1 = \frac{4}{3} \cdot n_g$  mit Generationszahl  $n_g = 3$
- $b_2 = -\frac{22}{3} + b_1$
- $b_3 = -11 + b_1$

Gleichungen  $\textcircled{*}$  sind in der vorherigen Abbildung (Fig.15.4) wiedergegeben, wobei als Startwerte die Kopplungsstärken bei  $\mu^2 \approx M_W^2$  gewählt werden.

## SU(5)-Grand Unified Theory (GUT)

Die Vereinigung der Kopplungen an der Energieskala  $M_X$  hat eine wichtige Konsequenz:

$$\tan \Theta_W = \frac{g'}{g_W} = \frac{\sqrt{\frac{3}{5}} \cdot g_1}{g_2} \xrightarrow{\rightarrow M_X} \sqrt{\frac{3}{5}}$$

d.h. der schwache Mischungswinkel kann berechnet werden:

$$\sin^2 \Theta_W = \frac{\frac{3}{5} \cdot g_1^2(M_X)}{\frac{3}{5} \cdot g_1^2(M_X) + g_e^2(M_X)} = \frac{3}{8}$$

denn  $g_1(M_X) = g_2(M_X) = g_3(M_X) = g_A$ . Dieser Wert gilt an der GUT-Skala. Um den entsprechenden Wert an einer anderen Skala (z.B.  $M_Z$ ) zu finden, löst man die Gleichungen  $\textcircled{X}$  unter Verwendung von  $\alpha_1(M_X) = \alpha_2(M_X) = \alpha_3(M_X) = \alpha_G$  und  $g' = \frac{e}{\cos \Theta_W}$ ,  $g_W = \frac{e}{\sin \Theta_W}$  nach  $\sin^2 \Theta_W$  auf:

$$\Rightarrow \sin^2 \Theta_W = \frac{3}{8} - \frac{55}{24\pi} \alpha_{em}(M_Z) \cdot \ln \left( \frac{M_X}{M_Z} \right)$$

$\sim 10^{15} \text{ GeV}$   
 $1/128.8$   
 $91.2 \text{ GeV}$

$$\Rightarrow \underline{\sin^2 \Theta_W(M_Z) \approx 0.20}$$

Vgl. mit Messungen der LEP-Experimente:

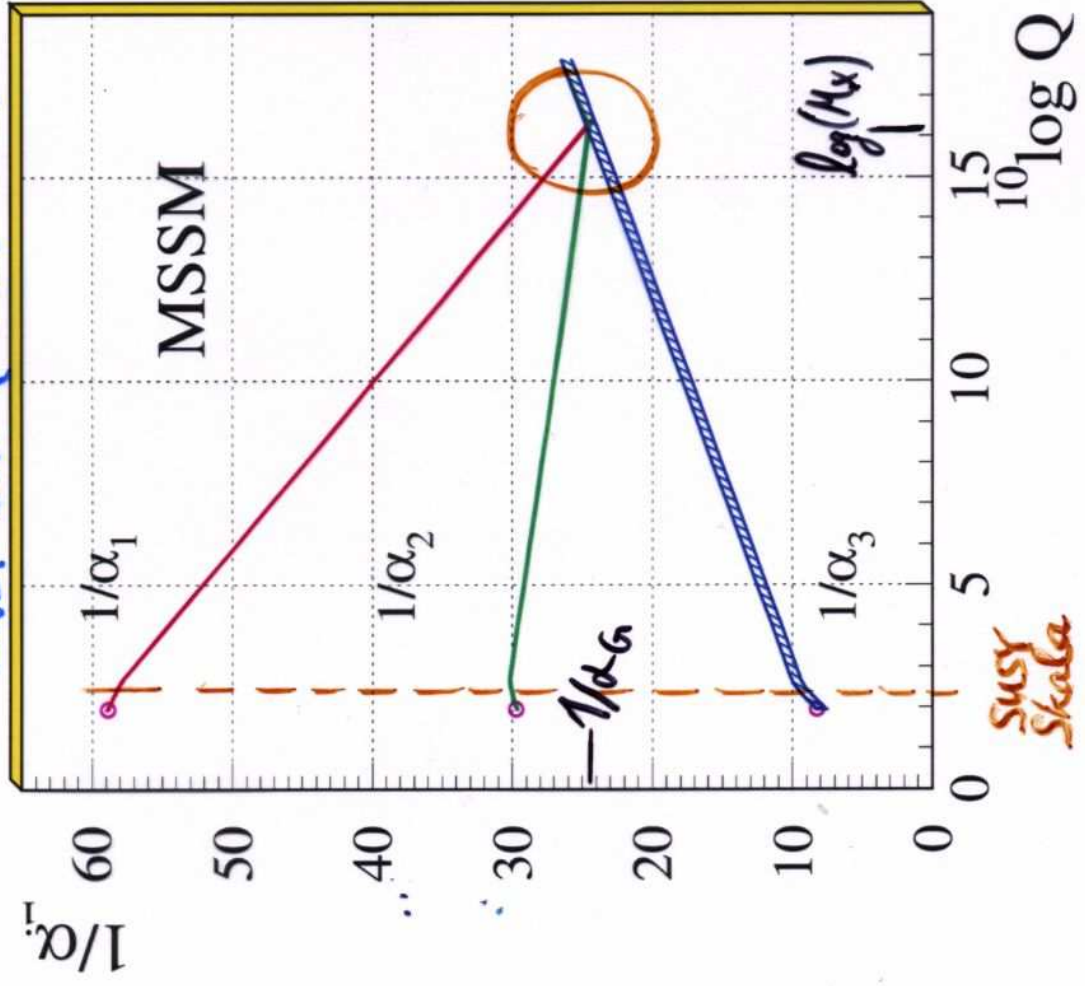
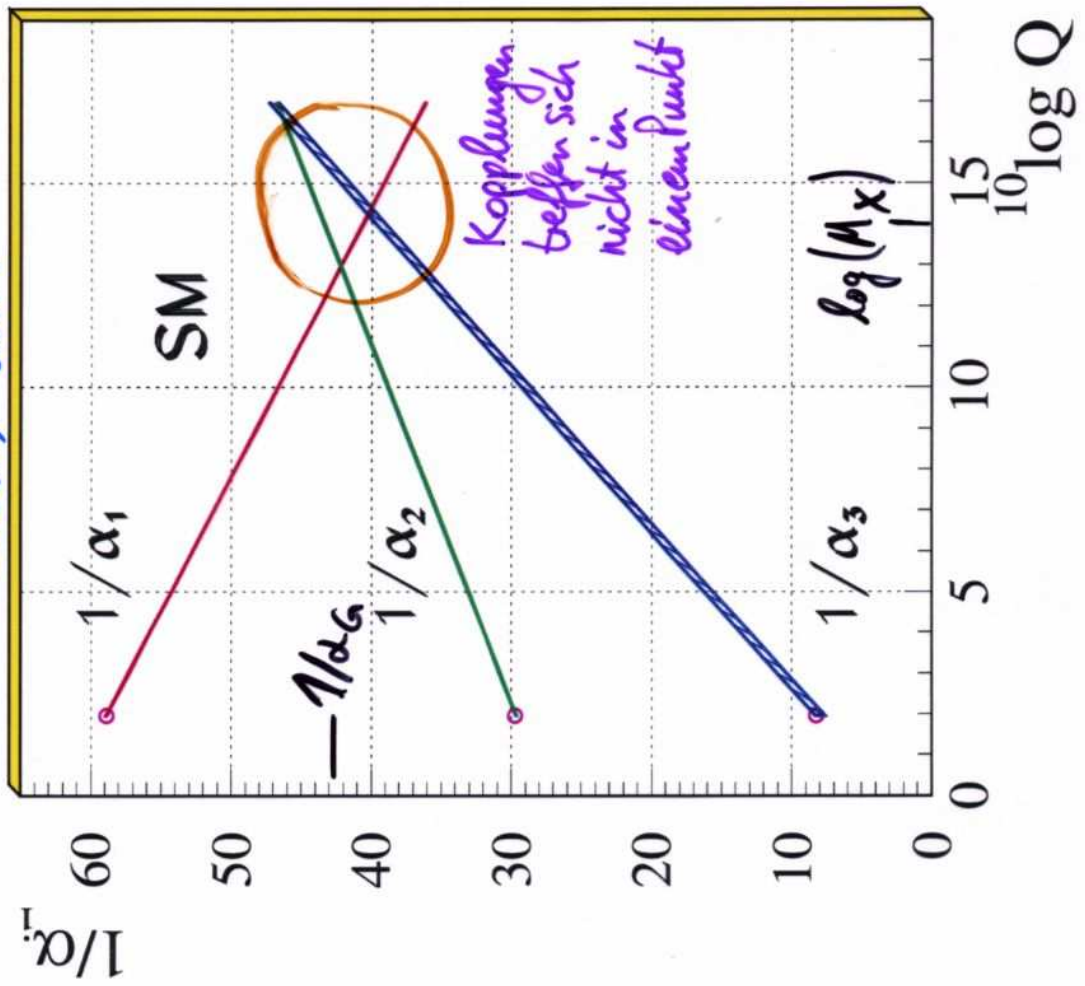
$$\underline{\sin^2 \Theta_W(M_Z) \approx 0.22}$$

Trotzdem hat SU(5)-GUT Probleme: z.B. Kopplungen treffen sich nicht in einem Punkt

## SU(5) - GUT: Probleme

### Unification of the Coupling Constants in the SM and the minimal MSSM

SU(5) - GUT:  $\log(\mu_X)$



## SU(5)-GUT: Probleme

Die X-Bosonen der SU(5)-GUT können den Zerfall der Protonen verursachen, weil d-Quark und  $e^+$  im gleichen Multiplett sitzen. Die Proton-Lebensdauer folgt im Analogie zur Myon-Lebensdauer:

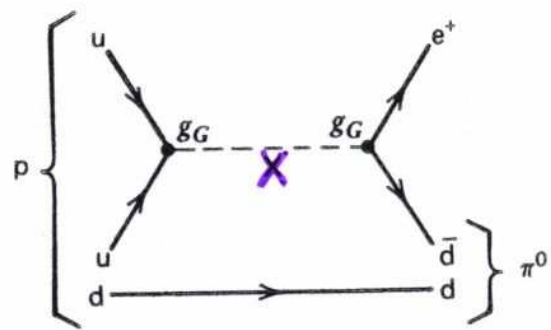
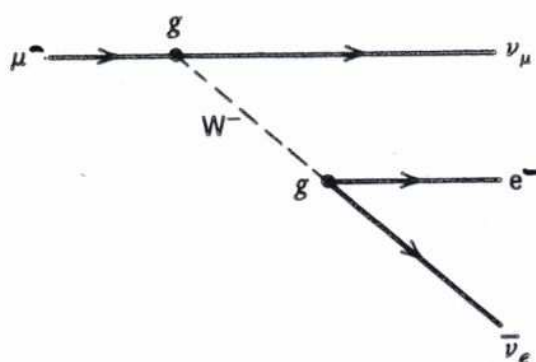
Low- $Q^2$  Phenomena Associated with the Scales  $Q^2 = M_W^2$  and  $Q^2 = M_X^2$

Muon Decay ( $\mu^- \rightarrow e^- \bar{\nu}_e \nu_\mu$ )

at  $Q^2 \ll M_W^2$

Proton Decay ( $p \rightarrow \pi^0 e^+$ )

at  $Q^2 \ll M_X^2$



$$\frac{G_F}{\sqrt{2}} = \frac{g_W^2}{8M_W^2} \quad (12.15)$$

$$\begin{aligned} \Gamma(\mu \rightarrow e \bar{\nu}_e \nu_\mu) &= \dots G_F^2 m_\mu^5 \quad (12.42) \\ &= \dots \frac{m_\mu^5}{M_W^4} \end{aligned}$$

$$\frac{G_G}{\sqrt{2}} = \frac{g_G^2}{8M_X^2}$$

$$\begin{aligned} \Gamma(p \rightarrow \pi e) &= \dots G_G^2 m_p^5 \\ &\Delta \alpha_G^2 \frac{m_p^5}{M_X^4} \end{aligned}$$

Mit  $\alpha_G \equiv g_G^2/4\pi$  ( $\approx 1/45$ , vgl. vorherige Folie) folgt die Lebensdauerabschätzung:

$$\tau_p \simeq M_X^4 / \alpha_G^2 m_p^5 \simeq 10^{32} \text{ yr}$$

Die experimentell gemessene Untergrenze der Proton-Lebensdauer beträgt jedoch  $\tau_p > 1.6 \cdot 10^{33} \text{ yr}$  in  $\downarrow$  zur SU(5)-GUT-Erwartung

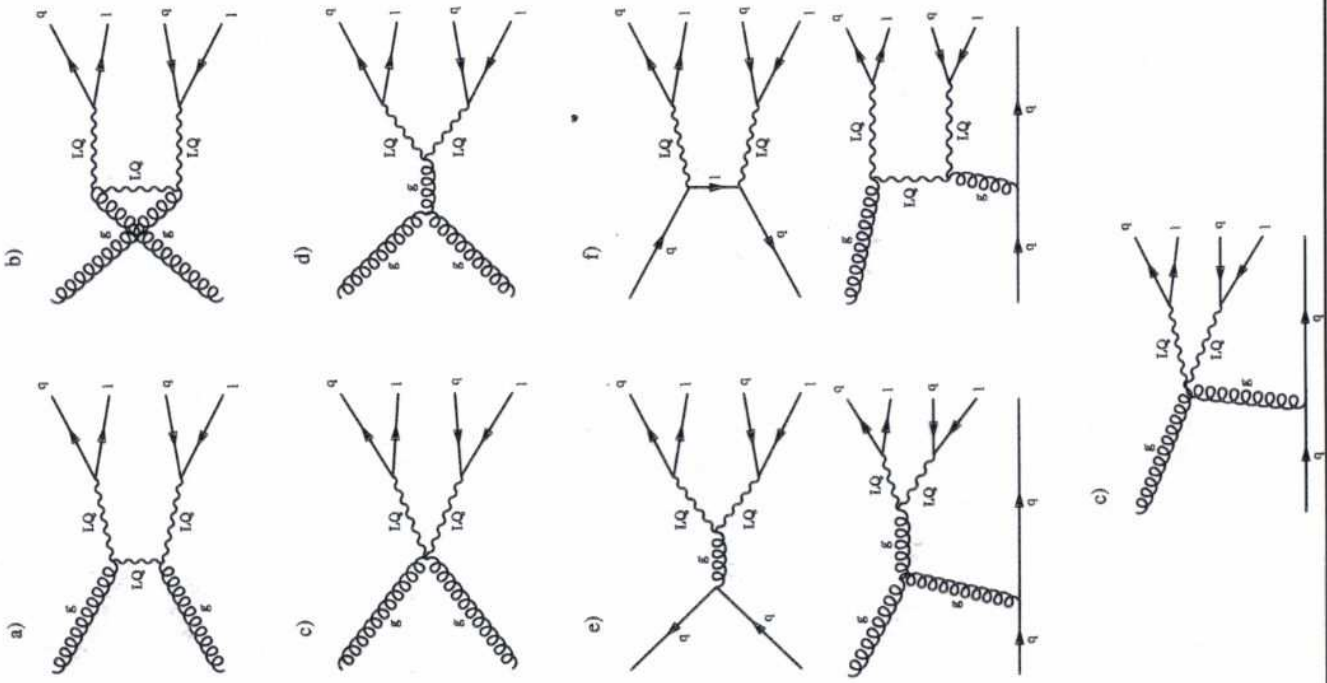
## SUSY-GUT

- Einige Probleme der einfachen  $SU(5)$ -GUT können durch die Kombination mit einer supersymmetrischen Erweiterung (SUSY) des Standard-Modells gelöst werden:
  - Vereinigung der Kopplungen bei  $M_X \approx 3 \cdot 10^{16} \text{ GeV}$  mit  $\alpha_G \approx 1/25$
  - Proton-Lebensdauer :  $\tau_p = \frac{M_X^4}{\alpha_G \cdot m_p^5} \approx 10^{37} \text{ yr}$
- Natürlich existieren auch andere Gruppen, z.B.  $SO(10)$ , die die Standard-Modell-Gruppen  $SU(3) \otimes SU(2) \otimes U(1)$  umfassen und daher Modelle für Grand Unified Theories sind. Dies werden hier aber nicht weiter erörtert. Stattdessen soll die supersymmetrische Erweiterung des Standard-Modell etwas detailliert dargestellt werden.  
Zuvor aber einige experimentelle Resultate zur Suche nach den X, Y-Leptoquarks, deren Masse eigentlich  $M_X$  sein sollte, durch einen see-saw-Mechanismus aber auch bei nur einigen 100 GeV liegen könnte.

# Suche nach Leptoquarks am Tevatron (Proton $\rightarrow$ Antiproton)

## Leptoquarks:

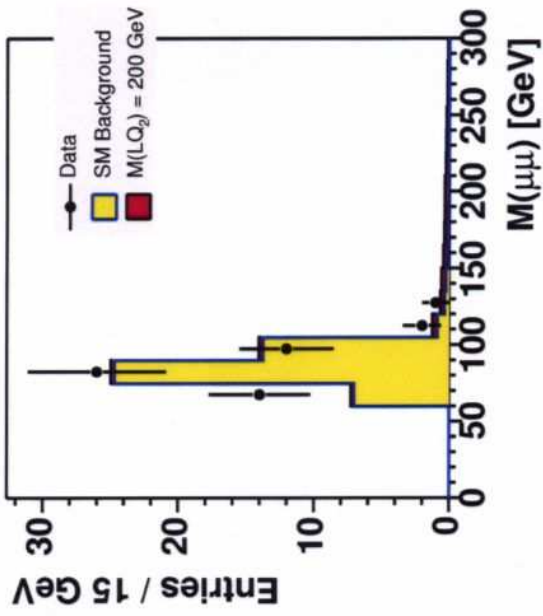
- ◊ Eigenschaften von Leptoquarks:
  - drittzahlige elektr. Ladung ( $\pm 1/3, \pm 2/3, -4/3, -5/3$ )
  - Skalar- (Spin 0) oder Vektor-Teilchen (Spin 1)
  - Kopplung an links- und rechtshändige Teilchen
  - Kopplung innerhalb Generation dominant (sonst FCNC), d.h.  $\hat{d}_R \rightarrow e^- + u, \hat{s}_R \rightarrow \mu^- + c, u.s.f.$
  - Masse nach spontaner Brechung **der** GUT-Eichgruppe in die SM-Eichgruppe entweder  $\mathcal{O}(\Lambda_{\text{GUT}}) \approx 10^{15} \text{ GeV}$  oder  $\mathcal{O}(100 \text{ GeV})$  (so gen. "see-saw"-Mechanismus: aus einem Teilchenpaar wird eines leicht, das andere schwer)
  - ◊ Produktion von Leptoquarks an Tevatron, LHC ...  $\rightarrow$
  - ▷ Suche Leptoquarks der 2. Generation ( $LQ_2$ ):
    - $LQ_2 LQ_2 \rightarrow \mu^+ \mu^- q \bar{q}$  mit  $q = c, s$  (d.h. keine  $\nu$ )
    - Signatur:  $\mu$ -Paar + 2 Jets, keine fehlende Energie
    - Untergrund: Drell-Yan und  $Z$ -Bosonen plus QCD-Strahlung (z.B.  $q \bar{q} \rightarrow 2\text{Jets} + Z \rightarrow (2j) + (\mu^+ \mu^-)$ )



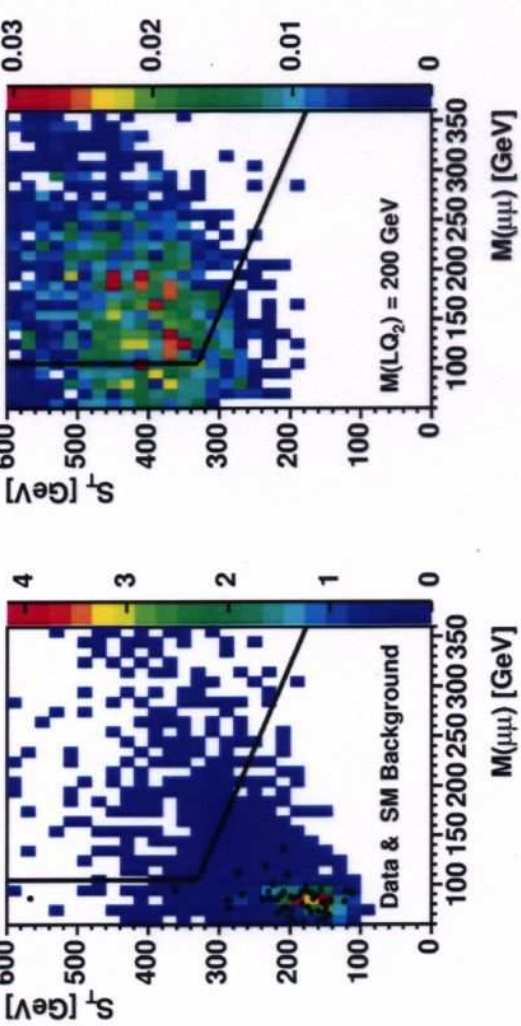
# Suche nach Leptoquarks

Leptoquark-Suche an Tevatron:  $LQ_2 LQ_2 \rightarrow \mu^+ \mu^- q \bar{q}$

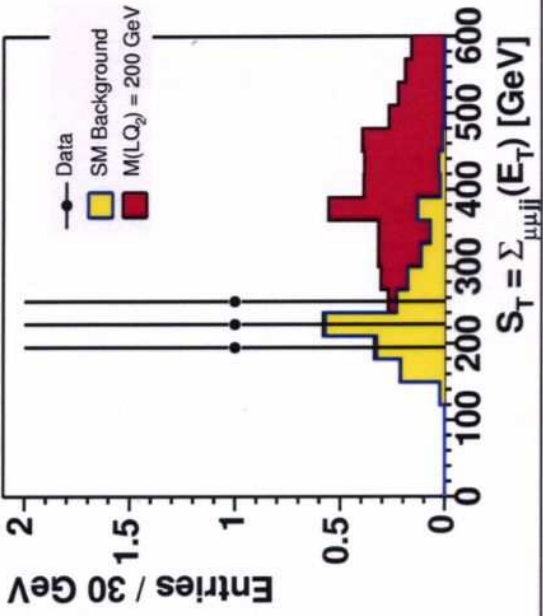
▷ Signal+Untergrund in Myon-Paarmasse  $M(\mu\mu)$ :



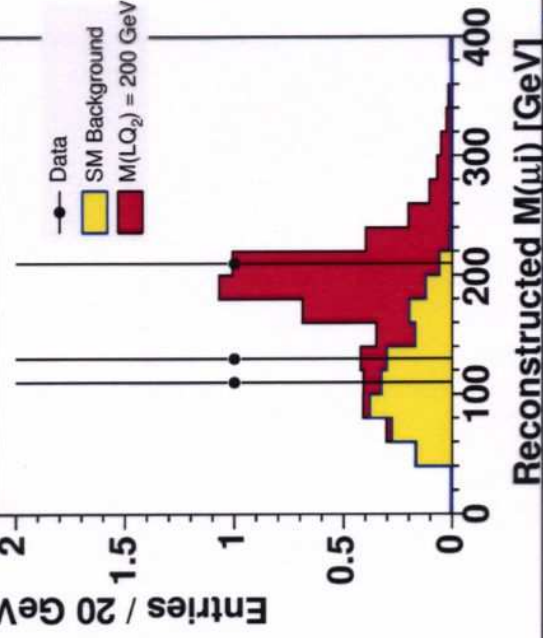
▷ Optimierung der Selektion in  $M(\mu\mu)$ - $S_T$ -Ebene:



▷ Summe transversaler Energien  $S_T$  (nur  $M(\mu\mu) > 100 \text{ GeV}$ ):



▷ Massenverteilung der  $LQ_2$ -Kandidaten:



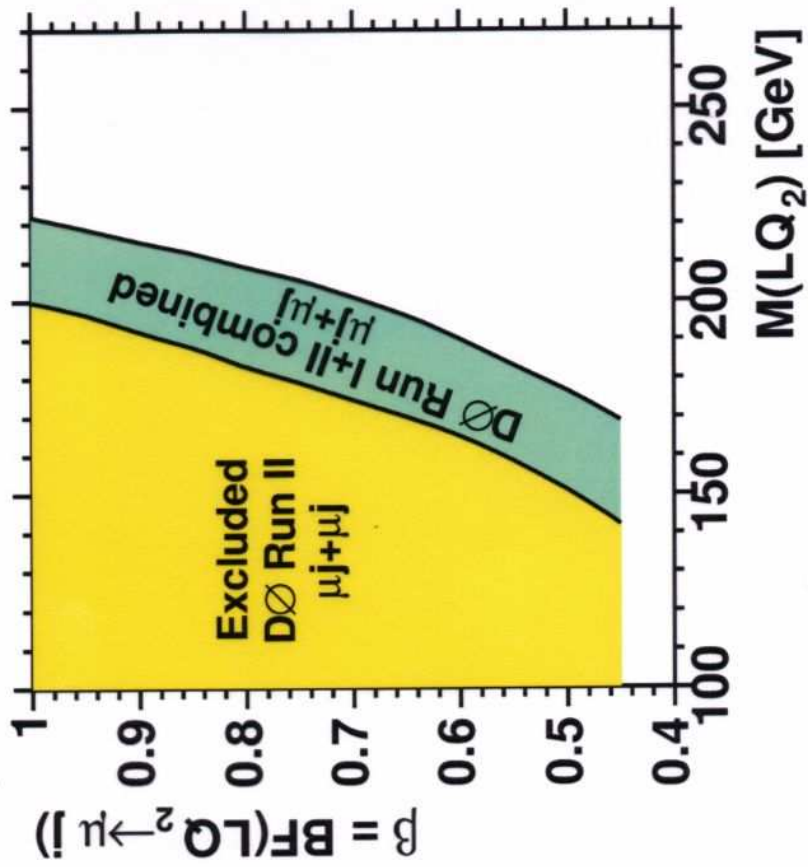
→ keine Anzeichen für Leptoquarks

# Suche nach Leptoquarks

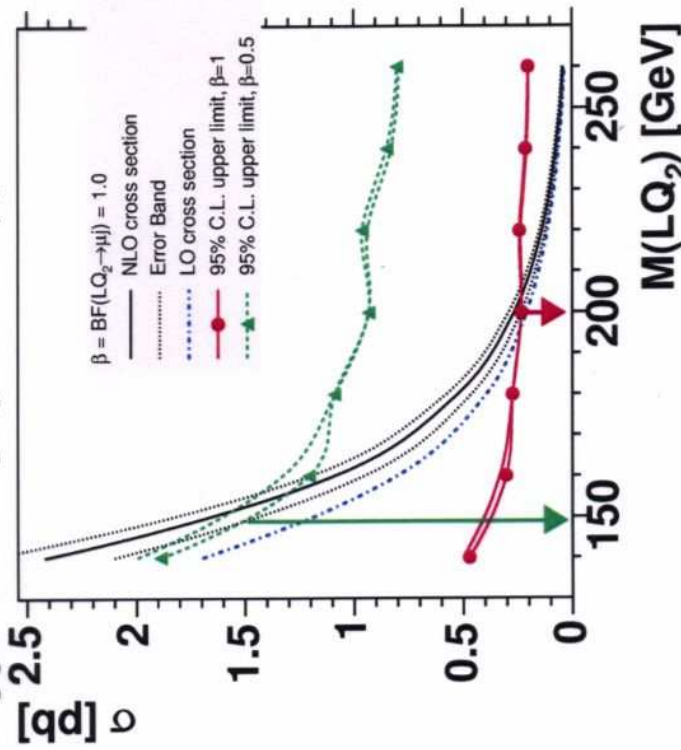
## Leptoquark-Grenzwerte:

▷ Ereigniszahl / integr. Luminosität  $\int \mathcal{L} dt$

→ Wirkungsquerschnitt-Limits:  
(abhängig von Verzweigungsverhältnis  $\beta$ )



▷ untere Massengrenzen für alle  $\beta$ :  
(je mehr  $\int \mathcal{L} dt$ , desto besser das Limit)



▷ komplettere durch  $LQ_2 LQ_2 \rightarrow \nu_\mu \bar{\nu}_\mu + 2j$  (für Bereich  $\beta < 0.5$ )

⇒ Keine Leptoquarks mit Massen bis zu  $\sim 200 \text{ GeV}$  beobachtet !